



LA-CoNGA physics

Teoría: Altas Energías Clase 05/21

Reglas de Feynman Prof. José Antonio López Rodríguez

05 de abril de 2022

Electrodinámica Cuántica

José Antonio López Rodríguez

Universidad Central de Venezuela

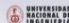
5 de abril de 2022



Latin American alliance for
Capacity building in Advanced physics
LA-CoNGA physics



Cofinanciado por el
programa Erasmus+
de la Unión Europea





Contenido

Recuento

Recapitulación ecuación de Dirac y soluciones

El campo de Proca

Campo de Proca

Proyeccion sobre estados de polarización y trazas de matrices γ

Completitud soluciones de Proca

Completitud soluciones de Maxwell

Completitud soluciones de Dirac

Propiedades de las trazas de matrices γ

Matrx γ^5

Interpretación diagramática

Interacción

QED a orden bajo

Reglas de Feynman

Reglas de Feynman

Recuento



- ▶ Recordemos: soluciones de partícula y antipartícula

$$u_{1,2}(p) = \left\{ \sqrt{E+m} \begin{pmatrix} 1 \\ 0 \\ \frac{p_z}{E+m} \\ \frac{p_x+ip_y}{E+m} \end{pmatrix}; \sqrt{E+m} \begin{pmatrix} 0 \\ 1 \\ \frac{p_x-ip_y}{E+m} \\ \frac{-p_z}{E+m} \end{pmatrix} \right\}. \quad (1)$$

$$v_{1,2}(p) = \left\{ \sqrt{E+m} \begin{pmatrix} \frac{p_x-ip_y}{E+m} \\ \frac{-p_z}{E+m} \\ 0 \\ 1 \end{pmatrix}; \sqrt{E+m} \begin{pmatrix} \frac{p_z}{E+m} \\ \frac{p_x+ip_y}{E+m} \\ 1 \\ 0 \end{pmatrix} \right\}. \quad (2)$$



- ▶ Definición

$$F_{\mu\nu} = \partial_\mu A_\nu - \partial_\nu A_\mu. \quad (3)$$

- ▶ Las componentes de $F_{\mu\nu}$

$$F_{\mu\nu} = \begin{pmatrix} 0 & E_1 & E_2 & E_3 \\ -E_1 & 0 & -B_3 & B_2 \\ -E_2 & B_3 & 0 & -B_1 \\ -E_3 & -B_2 & B_1 & 0 \end{pmatrix}. \quad (4)$$

$$F_{0i} = -F_{i0} = E_i, \quad F_{ij} = -\sum_{k=1}^3 \epsilon_{ijk} B_k \quad (5)$$



Calibrar la invariancia de fase

- ▶ Se define la derivada covariante (q es la carga eléctrica fundamental):

$$\partial_\mu \longrightarrow D_\mu = \partial_\mu + iqA_\mu \quad (6)$$

- ▶ La nueva densidad lagrangiana

$$S = - \int d^4x \left(\frac{1}{4} F^{\mu\nu} F_{\mu\nu} - \bar{\psi} (\gamma^\mu D_\mu - m) \psi \right). \quad (7)$$

- ▶ La invariancia de cambios de fase global se mantiene. La carga de Noether se sigue conservando.
- ▶ Se introduce un nuevo tipo de transformación de calibre (la invariancia es exacta).

$$\tilde{A}_\mu = A_\mu - \partial_\mu \chi. \quad (8)$$

$$\tilde{\psi} = e^{iq\chi} \psi. \quad (9)$$



- ▶ Se define la matriz de conjugación de carga.

$$\hat{C} \equiv i\gamma^2. \quad (10)$$

- ▶ La transformación es

$$\psi' = \hat{C}\psi^*. \quad (11)$$

- ▶ Se cumple

$$\psi = \hat{C}(\hat{C}\psi^*)^*. \quad (12)$$

$$\psi_i = u_i e^{-ipx} \xrightarrow{\hat{C}} \psi'_i = v_i e^{ipx}. \quad (13)$$

El campo de Proca



- ▶ Consideramos

$$F_{\mu\nu} = \partial_\mu B_\nu - \partial_\nu B_\mu. \quad (14)$$

- ▶ La dinámica está dada por la acción:

$$S = \int d^4x \left(-\frac{1}{4} F_{\mu\nu} F^{\mu\nu} + \frac{1}{2} m^2 B_\mu B^\mu \right). \quad (15)$$

- ▶ B_μ describe una teoría vectorial con masa.
- ▶ ¡No hay invariancia de calibre!



- ▶ Aplicando el principio de mínima acción:

$$\partial_\nu F^{\nu\alpha} + m^2 B^\alpha = 0, \quad (16)$$

$$\square B^\alpha - \partial_\nu \partial^\alpha B^\nu + m^2 B^\alpha = 0. \quad (17)$$

- ▶ Al calcular la divergencia a las ecuaciones de movimiento, encontramos que la condición

$$\partial_\nu B^\nu = 0 \quad (18)$$

es automática.

- ▶ Debe haber algún parecido entre las soluciones de B_μ y las soluciones de un A_μ de masa nula en el calibre de Lorenz.



- ▶ El sistema que se debe resolver.
Cuatro ecuaciones de Klein-Gordon masivas y la condición de divergencia nula:

$$(\square + m^2)B_\mu = 0, \quad (19)$$

$$\partial_\nu B^\nu = 0. \quad (20)$$

- ▶ Solución propuesta:

$$B_\mu = \epsilon_\mu^{(\lambda)}(q)e^{-iq \cdot x}. \quad (21)$$

- ▶ $\lambda = 0 \dots 3$ son las cuatro polarizaciones independientes.
- ▶ La ecuación de movimiento impone la condición:

$$q^2 = m^2. \quad (22)$$

- ▶ La condición de divergencia nula:

$$q^\mu \epsilon_\mu^{(\lambda)}(q) = 0. \quad (23)$$

Proyección sobre estados de polarización



- ▶ Nos interesa obtener una expresión covariante del operador de proyección sobre los estados $q^\mu \epsilon_\mu^{(\lambda)}(q) = 0$:

$$\sum_{q^\mu \epsilon_\mu^{(\lambda)}(q)=0} (\epsilon_\mu^{(\lambda)})^* \epsilon_\nu^{(\lambda)} = -\left(g_{\mu\nu} - \frac{q_\mu q_\nu}{m^2}\right). \quad (24)$$

Cumple con las propiedades deseadas.



Completitud en soluciones con masa (B_μ)

- ▶ Se puede, por ejemplo, partir de una forma explícita de los vectores de polarización,

$$\epsilon_\mu^{(0)} = \frac{q_\mu}{m}, \quad \epsilon_\mu^{(1)} = (0, \hat{\epsilon}_1), \quad \epsilon_\mu^{(2)} = (0, \hat{\epsilon}_2), \quad \epsilon_\mu^{(3)} = \frac{1}{m}(|\vec{q}|, q_0 \hat{q}). \quad (25)$$

Donde ($i, j = 1, 2$)

$$\hat{q} = \frac{\vec{q}}{|\vec{q}|}, \quad \vec{q} \cdot (\hat{\epsilon}_i)^* = 0, \quad \hat{\epsilon}_i \cdot (\hat{\epsilon}_j)^* = \delta_{ij}. \quad (26)$$

- ▶ Se puede verificar

$$\sum_{q^\mu \epsilon_\mu^{(\lambda)}(q)=0} (\epsilon_\mu^{(\lambda)})^* \epsilon_\nu^{(\lambda)} = \sum_{i=1}^3 (\epsilon_\mu^{(i)})^* \epsilon_\nu^{(i)} = -(g_{\mu\nu} - \frac{q_\mu q_\nu}{m^2}). \quad (27)$$



- ▶ Recordemos que solo hay dos polarizaciones independientes
- ▶ Proponemos una base para las 4 polarizaciones no restringidas:

$$\epsilon_{\mu}^{(0)} = n_{\mu} = (1, 0, 0, 0), \quad (28)$$

es un vector (obviamente) tipo tiempo.

$$\epsilon_{\mu}^{(1)} = (0, \hat{e}_1), \quad \epsilon_{\mu}^{(2)} = (0, \hat{e}_2), \quad \epsilon_{\mu}^{(3)} = \left(0, \frac{\vec{q}}{|\vec{q}|}\right) = \frac{q_{\mu} - (n \cdot q)n_{\mu}}{\sqrt{(n \cdot q)^2 - q^2}}, \quad (29)$$

son tres vectores (obviamente) tipo espacio.

- ▶ Se cumple ($i, j = 1, 2, 3$)

$$\vec{\epsilon}^{(i)} \cdot (\vec{\epsilon}^{(j)})^* = \delta^{ij}. \quad (30)$$



- ▶ Se definen 4 constantes ζ^λ :

$$\zeta^\lambda \equiv -\epsilon_\mu^{(\lambda)} (\epsilon^{\mu(\lambda)})^*, \quad (31)$$

$$\zeta^0 = -1; \quad \zeta^{i=1,2,3} = 1. \quad (32)$$

- ▶ Se cumplen:

$$\delta^{\lambda\lambda'} = -\zeta^\lambda \epsilon_\mu^{(\lambda)} (\epsilon^{\mu(\lambda')})^*, \quad (33)$$

$$\sum_\lambda \zeta^\lambda (\epsilon_\mu^{(\lambda)})^* \epsilon_\nu^{(\lambda)} = -g_{\mu\nu}. \quad (34)$$



- ▶ La proyección sobre las polarizaciones físicas ($\epsilon^{(i=1,2)}$):

$$\sum_{i=1,2} (\epsilon_{\mu}^{(i)})^* \epsilon_{\nu}^{(i)} = \sum_{\lambda} \zeta^{\lambda} (\epsilon_{\mu}^{(\lambda)})^* \epsilon_{\nu}^{(\lambda)} - (\zeta^0 (\epsilon_{\mu}^{(0)})^* \epsilon_{\nu}^{(0)} + \zeta^3 (\epsilon_{\mu}^{(3)})^* \epsilon_{\nu}^{(3)}). \quad (35)$$

$$\sum_{i=1,2} (\epsilon_{\mu}^{(i)})^* \epsilon_{\nu}^{(i)} = -g_{\mu\nu} + ((\epsilon_{\mu}^{(0)})^* \epsilon_{\nu}^{(0)} - (\epsilon_{\mu}^{(3)})^* \epsilon_{\nu}^{(3)}) = -g_{\mu\nu} + (P_q)_{\mu\nu}, \quad (36)$$

donde $(P_q)_{\mu\nu}$ es el operador de proyección sobre la dirección de q_{μ} .



- ▶ En el cálculo de perturbaciones necesitaremos considerar polarizaciones de fotones que no cumplen la condición *on shell* ($q^2 \neq 0$).
- ▶ En ese caso se puede tomar prestado el resultado del Campo de Proca:

$$\sum_{q^\mu \epsilon_\mu^{(\lambda)}(q)=0} (\epsilon_\mu^{(\lambda)})^* \epsilon_\nu^{(\lambda)} = \sum_{i=1}^3 (\epsilon_\mu^{(i)})^* \epsilon_\nu^{(i)} = -(g_{\mu\nu} - \frac{q_\mu q_\nu}{q^2}). \quad (37)$$



► Sabemos

$$\sum_{s=1,2} u_s(p) \bar{u}_s(p) = (\gamma^\mu p_\mu + m). \quad (38)$$

$$\sum_{s=1,2} v_s(p) \bar{v}_s(p) = (\gamma^\mu p_\mu - m). \quad (39)$$

Propiedades de las trazas de matrices γ



- ▶ Definimos la matriz γ^5

$$\gamma^5 = i\gamma^0\gamma^1\gamma^2\gamma^3. \quad (40)$$

- ▶ Se cumple:

$$(\gamma^5)^2 = I, \quad (41)$$

$$(\gamma^5)^\dagger = \gamma^5, \quad (42)$$

$$\gamma^5\gamma^\mu = -\gamma^\mu\gamma^5. \quad (43)$$



$$\text{Tr}(I) = 4 \quad (44)$$

- ▶ La traza de un número impar de matrices es cero.



$$\text{Tr}(\gamma^\mu \gamma^\nu) = 4g^{\mu\nu} \quad (45)$$



$$\text{Tr}(\gamma^\mu \gamma^\nu \gamma^\rho \gamma^\sigma) = 4g^{\mu\nu} g^{\rho\sigma} - 4g^{\mu\rho} g^{\nu\sigma} + 4g^{\mu\sigma} g^{\rho\nu}. \quad (46)$$

- ▶ La traza de un número impar de matrices $\times \gamma^5$ es cero.

Interpretación diagramática



- ▶ La tasa de transición entre estados inicial y final está codificada en la cantidad Γ_{fi} .
- ▶ Regla de oro de Fermi

$$\Gamma_{fi} = 2\pi |T_{fi}|^2 \rho(E_f) \quad (47)$$

- ▶ La matriz de transición T_{fi} es un objeto teoría dependiente. Cuando es posible usar teoría de perturbaciones:

$$T_{fi} = \langle f | V | i \rangle + \sum_{i \neq j} \frac{\langle f | V | j \rangle \langle j | V | i \rangle}{E_i - E_j} + \dots \quad (48)$$

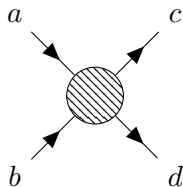
- ▶ Primer término: interacción con un potencial.
- ▶ Segundo término: dispersión en un estado intermedio.
- ▶ ...



- ▶ En QFT la interacción sucede a través del intercambio de partículas.
- ▶ No hay potenciales extendidos en el espacio.
- ▶ Fuerza \iff transferencia de momentum a partículas de intercambio.



Modelo de intercambio $a + b \longrightarrow c + d$

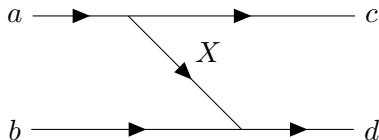


- ▶ Partícula a se transforma en $X + c$.
 $a + b \longrightarrow c + X + b \longrightarrow c + d$.
- ▶ Partícula b se transforma en $\tilde{X} + d$.
 $a + b \longrightarrow a + \tilde{X} + d \longrightarrow c + d$



$$a + b \longrightarrow c + X + b \longrightarrow c + d$$

- ▶ a se transforma en $X + c$.



- ▶ $q_X = p_c - p_a$
- ▶ $Q_X = Q_c - Q_a$
- ▶ La matriz de transición:

$$T_{fi}^{a \rightarrow X} = \frac{\langle f | V | j \rangle \langle j | V | i \rangle}{E_i - E_j} = \frac{\langle d | V | X + b \rangle \langle c + X | V | a \rangle}{(E_a + E_b) - (E_c + E_b + E_X)}. \quad (49)$$



$$a + b \longrightarrow c + X + b \longrightarrow c + d$$

- ▶ Usamos la definición $V_{ji} = \langle j | V | i \rangle$.

$$V_{ji} = \langle c + X | V | a \rangle = \mathcal{M}_{a \rightarrow c+X} (2E_a 2E_c 2E_X)^{-\frac{1}{2}}. \quad (50)$$

- ▶ $\mathcal{M}_{a \rightarrow c+X}$ es el elemento de matriz invariante Lorentz en la transición $a \rightarrow c + X$. El caso más sencillo es el de un acoplamiento escalar

$$\mathcal{M}_{a \rightarrow c+X} = g_a. \quad (51)$$

$$T_{fi}^{a \rightarrow X} = \frac{g_a g_b}{(E_a - E_c - E_X)} (2E_a 2E_c 2E_X)^{-\frac{1}{2}} (2E_b 2E_d 2E_X)^{-\frac{1}{2}}. \quad (52)$$



$$a + b \longrightarrow c + X + b \longrightarrow c + d$$

- Definimos la matriz de transición invariante para $T_{fi}^{a \rightarrow X}$.

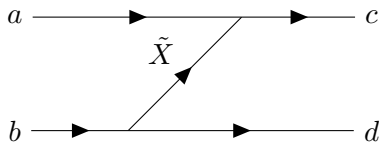
$$T_{fi}^{a \rightarrow X} = \frac{g_a g_b (2E_a 2E_c 2E_b 2E_d)^{-\frac{1}{2}}}{2E_X (E_a - E_c - E_X)} = \mathcal{M}_{fi}^{a \rightarrow c+X} (2E_a 2E_c 2E_b 2E_d)^{-\frac{1}{2}}. \quad (53)$$

$$\mathcal{M}_{fi}^{a \rightarrow c+X} = \frac{g_a g_b}{2E_X (E_a - E_c - E_X)}. \quad (54)$$



$$a + b \longrightarrow a + \tilde{X} + d \longrightarrow c + d$$

- ▶ Partícula b emite una \tilde{X} .



- ▶ La matriz de transición LI tiene la misma forma que en el caso anterior

$$\mathcal{M}_{fi}^{b \rightarrow \tilde{X} + d} = \frac{g_b g_a}{2E_{\tilde{X}}(E_b - E_d - E_{\tilde{X}})}. \quad (55)$$



Matriz de transición LI total

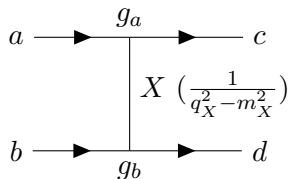
- ▶ La matriz LI de todo el proceso es la suma. Suponemos que $X = \tilde{X}$,

$$\mathcal{M}_{fi} = \mathcal{M}_{fi}^{a \rightarrow X+c} + \mathcal{M}_{fi}^{b \rightarrow \tilde{X}+d}. \quad (56)$$

- ▶ Se obtiene

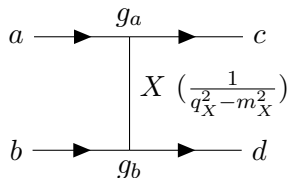
$$\mathcal{M}_{fi} = \frac{g_b g_a}{(E_a - E_c)^2 - E_X^2} = \frac{g_b g_a}{(p_a - p_c)^2 - m_X^2}. \quad (57)$$

- ▶ La representación en diagrama de \mathcal{M}_{fi} es más simple





Estructura general de un diagrama de Feynman



- ▶ La partícula X es virtual, no detectable. No es una partícula física.
- ▶ En general

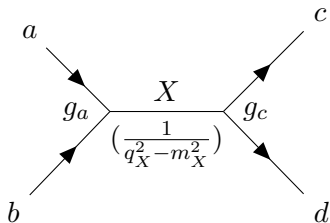
$$q_X^2 - m_X^2 \neq 0. \quad (58)$$

- ▶ En este tipo de diagrama

$$q_X^2 = (p_a - p_c)^2 = (p_d - p_b)^2 = t. \quad (59)$$



Estructura general de un diagrama de Feynman



- ▶ En este tipo de diagrama

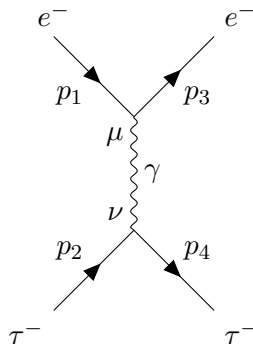
$$q_X^2 = (p_a + p_b)^2 = (p_c + p_d)^2 = s. \quad (60)$$



- ▶ Se estudiarán algunos procesos sencillos: no partículas idénticas en el mismo estado (inicial o final)
- ▶ Nivel árbol.
- ▶ Intensidad de la interacción en cada vértice + el propagador de las líneas internas o partículas virtuales.
- ▶ Ejemplo

$$\mathcal{M}_{(3,4)(1,2)} \sim \langle \psi_3 | V | \psi_1 \rangle \left(\frac{1}{q_\gamma^2 - m_\gamma^2} \right) \langle \psi_4 | V | \psi_2 \rangle. \quad (61)$$

- ▶ Diagrama





- ▶ Los grados de libertad de espín y la polarización implican que el vértice y el propagador tienen “más” estructura que antes en el caso escalar.
- ▶ Estudiamos el detalle de la matriz de transición usando el termino de interacción del campo A_μ y los espinores u_s y v_s .

$$\langle \psi_3 | V | \psi_1 \rangle \rightarrow \begin{pmatrix} u(p_3)^\dagger \\ v(p_3)^\dagger \end{pmatrix} q \gamma^0 \gamma^\mu \epsilon_\mu^{(\lambda)} \begin{pmatrix} u(p_1) \\ v(p_1) \end{pmatrix}. \quad (62)$$

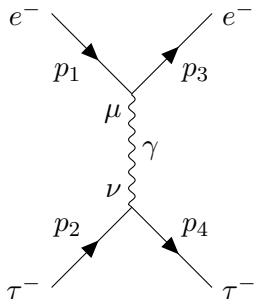
- ▶ En principio hay 4 combinaciones de estados (u y v) iniciales y finales. Dependerán del proceso a describir: estados *in* \rightarrow estados *out*.
- ▶ Hay polarizaciones λ . ¿Cuántas? Recordar que $q_X^2 - m_X^2 \neq 0$.



Otra vez: $e^- + \tau^- \rightarrow e^- + \tau^-$

- ▶ Todos los estados son partícula
($u + u \rightarrow u + u$).
- ▶ Se suman tres polarizaciones independientes.
Es equivalente a un campo B_μ ($m \neq 0$).

$$\mathcal{M}_{(3,4)(1,2)} \sim \langle \psi_3 | V | \psi_1 \rangle \left(\frac{1}{q_\gamma^2 - m_\gamma^2} \right) \langle \psi_4 | V | \psi_2 \rangle. \quad (63)$$



$$\mathcal{M}_{(3,4)(1,2)} = \sum_{q^\mu \epsilon_\mu^{(\lambda)}(q)=0} u_e^\dagger(p_3) (q_e \gamma^0 \gamma^\mu \epsilon_\mu^{(\lambda)}) u_e(p_1) \left(\frac{1}{q_\gamma^2} \right) u_\tau^\dagger(p_4) (q_\tau \gamma^0 \gamma^\nu (\epsilon_\nu^{(\lambda)})^*) u_\tau(p_2). \quad (64)$$

$$\mathcal{M}_{(3,4)(1,2)} = (q_e q_\tau) \bar{u}_e(p_3) (\gamma^\mu) u_e(p_1) \left(\frac{-g_{\mu\nu}}{q_\gamma^2} \right) \bar{u}_\tau(p_4) (\gamma^\nu) u_\tau(p_2). \quad (65)$$

Reglas de Feynman



Reglas de Feynman: fermiones externos

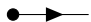
- ▶ Partícula in



$$u(p)$$

$$e^- \rightarrow \bullet$$

- ▶ Partícula out



$$\bar{u}(p)$$

$$\bullet \rightarrow e^-$$

- ▶ Antipartícula in



$$\bar{v}(p)$$

$$e^+ \rightarrow \bullet$$

- ▶ Antipartícula out



$$v(p)$$

$$\bullet \rightarrow e^+$$



- ▶ Fotón in



$$\epsilon_{\mu}(q)$$

$$\gamma \rightarrow \bullet$$

- ▶ Fotón out



$$\epsilon_{\mu}^{*}(q)$$

$$\bullet \rightarrow \gamma$$



Reglas de Feynman: líneas internas y vértice

- ▶ Intercambio de fotón

$$\bullet \text{---} \text{wavy} \text{---} \bullet \quad -\frac{ig_{\mu\nu}}{q^2} \quad \bullet \longleftrightarrow \bullet$$

- ▶ Intercambio de fermión

$$\bullet \text{---} \text{arrow} \text{---} \bullet \quad -\frac{i(\gamma^\mu q_\mu + m)}{q^2 - m^2} \quad \bullet \longleftrightarrow \bullet$$

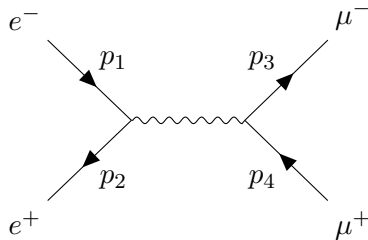
- ▶ Vértice

$$\begin{array}{c} \swarrow \text{arrow} \\ \searrow \text{arrow} \\ \text{---} \text{wavy} \\ \downarrow \end{array} \quad -iq\gamma^\mu$$



Ejemplo aniquilación

- ▶ Ejemplo: $e^- + e^+ \rightarrow \mu^- + \mu^+$



- ▶ La amplitud

$$\bar{v}(p_2) (iq_e \gamma^\mu) u(p_1) \left(\frac{-ig_{\mu\nu}}{q^2} \right) \bar{u}(p_3) (iq_\mu \gamma^\nu) v(p_4). \quad (66)$$



Mark Thomson (2013)

Modern particle physics

Cambridge University Press.



Michael Peskin (2018)

An introduction to quantum field theory

CRC press.



<http://laconga.redclara.net>



contacto@laconga.redclara.net



lacongaphysics



Latin American alliance for
Capacity building in Advanced physics

LA-CoNGA physics



Cofinanciado por el
programa Erasmus+
de la Unión Europea

El apoyo de la Comisión Europea para la producción de esta publicación no constituye una aprobación del contenido, el cual refleja únicamente las opiniones de los autores, y la Comisión no se hace responsable del uso que pueda hacerse de la información contenida en la misma.

